

Mixed Finite Element Formulation for 2D Problems Analysis Based on Analytical Solutions of Differential Equation

M. Karkon¹, M. Yaghoobi²

¹ Department of Engineering, Larestan Branch, Islamic Azad University, Larestan, Iran.

² Department of Engineering, University of Torbat Heydarieh, Torbat Heydarieh, Iran.

ABSTRACT: In this paper, a high-order eight-node element based on the analytical response of the governing differential equation is proposed for the analysis of plane structures. The formulation of the proposed element is based on the Hellinger-Reisner mixed functional and the analytical response of the compatibility equation governing plane problems. It is worth noting that in order to formulate finite elements with the Hellinger-Reisner functional, two independent stress and displacement fields are required. For this purpose, Airy stress functions are first made available by the analytical solution of the compatibility equation. By utilizing these stress functions, the stress field within the element is obtained. Also, the quadratic displacement field of the isoparametric element is used for intra-element displacement. By applying the Hellinger-Reisner mixed functional and stationary of this functional relative to the independent stress and displacement fields, the stiffness matrix, and the element node force vector are made available. Finally, with various numerical tests, the accuracy and efficiency of the proposed element are evaluated. These tests prove the high accuracy of the proposed element in the analysis of plane structures.

Review History:

Received: Oct. 09, 2021

Revised: Mar. 16, 2022

Accepted: May, 08, 2022

Available Online: May, 23, 2022

Keywords:

Finite elements

Hellinger-Reisner functional

Eight-node element

Static analysis

Plane problems.

1- Introduction

Since the advent of the finite element method, many elements have been proposed to analyze plane problems. Among these, the four-node and eight-node elements are all-encompassing, but these elements do not receive an acceptable response in distorted meshes, and the response error increases as the mesh distortion increases [1]. Therefore, many attempts have been made to find other types of formulation that have high accuracy and low sensitivity to mesh distortion. In this regard, we can refer to hybrid and mixed formulations [2]. In these formulation constructions, the number of main fields is more than one field.

Mixed functionals are established by defining independent fields within the element. One of the most popular mixed functionals for finite element formulation is the Hellinger-Reisner functional. In this function, the stress and displacement fields within the element are defined as independent fields. Due to the definition of the independent displacement field, one of the most important advantages of this method of the formulation is the liberation from the condition of continuity at the element boundaries [3]. Several high-order elements of 8 nodes and 12 nodes have also been created using hypothetical test functions and hybrid stress functional [4-6].

In this paper, using the Hellinger-Reisner functional, the

formulation of an eight-node plate element with 16 degrees of freedom is performed. In the proposed element, instead of using hypothetical functions, the stress field is made available by the analytical solution of the governing differential equation. In this method, by solving the governance compatibility equation, the analytical functions of Airy stress are available. Then, by applying these stress functions, the stress field within the element is obtained. Also, for the intra-element displacement field, the eight-node isoparametric element interpolation functions are used. To demonstrate the accuracy and efficiency of the proposed element, various benchmark tests will be analyzed, and the answers will be compared with the results of other researchers' eight-node elements.

2- Methodology

2- 1- Hellinger-Reisner functional

To formulate the proposed element, the stress and displacement fields within the element are written as follows:

$$\{\sigma\} = [P]\{\beta\} \quad (1)$$

$$\{u\} = [N]\{D\} \quad (2)$$

*Corresponding author's email: mo.karkon@iau.ac.ir



Copyrights for this article are retained by the author(s) with publishing rights granted to Amirkabir University Press. The content of this article is subject to the terms and conditions of the Creative Commons Attribution 4.0 International (CC-BY-NC 4.0) License. For more information, please visit <https://www.creativecommons.org/licenses/by-nc/4.0/legalcode>.

In the present equations, $[P]$ and $[N]$ are the assumed stress and displacement functions within the element, respectively. Also, vectors $\{\beta\}$ and $\{D\}$ are unknown stress factors and nodal displacement vectors, respectively. By placing Eqs. (1) and (2) in the Hellinger-Reisner functional, the energy of an element of the plane problem is written as follows:

$$\Pi_{HR} = \begin{pmatrix} \{\beta\}^T [G] \{D\} \\ -\frac{1}{2} \{\beta\}^T [H] \{\beta\} - \{f\}^T \{D\} \end{pmatrix} \quad (3)$$

By minimizing Eq. (3) relative to Vectors $\{\beta\}$ and $\{D\}$, stiffness and mass matrices are obtained.

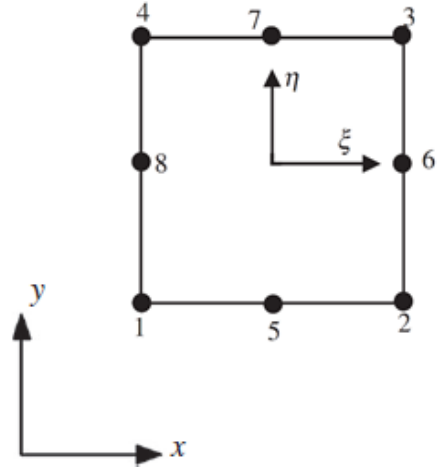


Fig. 1. The proposed element

$$[K] = [G]^T [H]^{-1} [G] \quad (4)$$

$$[G] = \int_v [P]^T ([L][N]) dv \quad (5) \quad \{u\} = \begin{Bmatrix} u_x \\ u_y \end{Bmatrix} = [N]\{D\}$$

$$[H] = \int_v [P]^T [C][P] dv \quad (6) \quad N_j = \begin{cases} \frac{1}{4}(1+\xi_j\xi)(1+\eta_j\eta) \\ (\xi_j\xi+\eta_j\eta-1) \end{cases} \quad \text{for nodes } j=1,2,3,4$$

$$[L] = \begin{bmatrix} \partial/\partial x & 0 \\ 0 & \partial/\partial y \\ \partial/\partial y & \partial/\partial x \end{bmatrix} \quad (7)$$

$$[C] = \frac{1}{E'} \begin{bmatrix} 1 & -\nu' & 0 \\ -\nu' & 1 & 0 \\ 0 & 0 & 2(1+\nu') \end{bmatrix} \quad (8)$$

For plane stress problems $E' = E$ and $\nu' = \nu$, and for plane strain problems $\nu' = \nu/(1-\nu)$ and $E' = E/(1-\nu^2)$.

The introduction should show the background of the subject and main contributions. It is necessary to explain clearly the novelty and contribution of present work in the last paragraph of introduction.

2- 2- Proposed element formulation

Fig. 1 shows the eight-node proposed element. For the internal displacement field of the proposed element, the interpolation functions of the Q8 element are used.

$$N_j = \begin{cases} \frac{1}{2}(1-\xi^2)(1+\eta_j\eta) \\ \frac{1}{4}(1+\xi_j\xi)(1-\eta^2) \end{cases} \quad \text{for nodes } j=5,7$$

$$N_j = \frac{1}{4}(1+\xi_j\xi)(1-\eta^2) \quad \text{for nodes } j=6,8 \quad (10)$$

Also, the stress field of the component is calculated as the following matrix:

$$\sigma = \begin{Bmatrix} \sigma_x \\ \sigma_y \\ \tau_{xy} \end{Bmatrix} = \sum_{i=1}^n \left\{ \begin{Bmatrix} \frac{\partial^2 \phi_i}{\partial y^2} \\ \frac{\partial^2 \phi_i}{\partial x^2} \\ -\frac{\partial^2 \phi_i}{\partial x \partial y} \end{Bmatrix} \right\} \{\beta\} = [P]\{\beta\} \quad (11)$$

3- Results and Discussion

For proving the excellent efficiency of the proposed element, several different benchmarks are used. First, the beam with a length-to-thickness ratio of 4 is analyzed in a distorted four-element mesh under the effect of shear load with the proposed element. In the next test, MacNeal's beam with a length to thickness ratio of 30 under the effect of shear load and moment in different meshes is analyzed. The proposed element has high accuracy in both tests. Also, Cook's beam analysis with the proposed element proves the rapid rate of the new element. In order to evaluate the ability of the proposed element in the analysis of curved geometries, a curved beam was evaluated in both thick and thin modes under shear load. Finally, the sensitivity of the proposed element to mesh distortion was investigated. To do this, a mesh with two distorted elements was analyzed. The degree of mesh distortion depended on the distortion parameter. The proposed element, even in coarse meshes with high distortion, results in a high accuracy response.

4- Conclusion

In this study, using a mixed functional and analytical response of the differential equation of plane problems, an eight-node element with high accuracy was proposed to analyze the plane structures. To do this, the Hellinger-Reisner functional with independent stress and displacement fields was used. The intra-element stress field was obtained using the analytical response of the governing differential equation. Also, for the intra-element displacement field, the eight-node element interpolation functions were used. Then, by minimizing the functional equation with respect to the independent fields, the stiffness matrix and the vector node

force vector became available. Finally, in order to measure and evaluate the accuracy of the proposed element, numerous numerical tests were performed. These tests showed the very high accuracy of the proposed element in the analysis of various plane structures and its low sensitivity to distortion of mesh.

References

- [1] N.S. Lee, K.J. Bathe, Effects of element distortions on the performance of isoparametric elements, International Journal for numerical Methods in engineering, 36(20) (1993) 3553-3576.
- [2] T.H. Pian, State-of-the-art development of hybrid/mixed finite element method, Finite elements in analysis and design, 21(1-2) (1995) 5-20.
- [3] C. Felippa, Advanced finite element methods, Institute of Theoretical Physics, Faculty of Mathematics and Physics ..., 2000.
- [4] S. Cen, X.-R. Fu, M.-J. Zhou, 8-and 12-node plane hybrid stress-function elements immune to severely distorted mesh containing elements with concave shapes, Computer Methods in Applied Mechanics and Engineering, 200(29-32) (2011) 2321-2336.
- [5] C. Wang, Y. Wang, C. Yang, X. Zhang, P. Hu, 8-node and 12-node plane elements based on assumed stress quasi-conforming method immune to distorted mesh, Engineering Computations, 34(8) (2017) 2731-2751.
- [6] S. Cen, G.H. Zhou, X.R. Fu, A shape-free 8-node plane element unsymmetric analytical trial function method, International Journal for Numerical Methods in Engineering, 91(2) (2012) 158-185.

HOW TO CITE THIS ARTICLE

M. Karkon, M. Yaghoobi, Mixed Finite Element Formulation for 2D Problems Analysis Based on Analytical Solutions of Differential Equation, Amirkabir J. Mech Eng., 54(6) (2022) 295-298.

DOI: [10.22060/mej.2022.20650.7287](https://doi.org/10.22060/mej.2022.20650.7287)





تحلیل مسائل دوبعدی با روش اجزای محدود درهم بر پایه پاسخ تحلیلی معادله دیفرانسیل

محمد کارکن^{۱*}، مجید یعقوبی^۲

- ۱- دانشکده مهندسی، دانشگاه آزاد اسلامی، واحد لارستان، لارستان، ایران.
۲- دانشکده فنی و مهندسی، دانشگاه تربت حیدریه، تربت حیدریه، ایران.

تاریخچه داوری:

دریافت: ۱۴۰۰/۰۷/۱۷

بازنگری: ۱۴۰۰/۱۲/۲۵

پذیرش: ۱۴۰۱/۰۲/۲۱

ارائه آنلاین: ۱۴۰۱/۰۳/۰۲

کلمات کلیدی:

اجزای محدود

تابعی هلینگر-رایزنر

جزء هشت گرهی

تحلیل استاتیکی

مسائل دوبعدی

خلاصه: در این مقاله یک جزء مرتبه بالای هشت گرهی برپایه پاسخ تحلیلی معادله دیفرانسیل حاکم، برای تحلیل سازه‌های دوبعدی پیشنهاد می‌گردد. رابطه‌سازی جزء پیشنهادی بر پایه تابعی درهم هلینگر-رایزنر و پاسخ تحلیلی معادله سازگاری حاکم بر مسئله‌های دوبعدی انجام می‌پذیرد. شایان ذکر است جهت رابطه سازی اجزای محدود با تابعی درهم هلینگر-رایزنر، نیاز به دو میدان مستقل تنش و جابجایی در درون جزء می‌باشد. برای این منظور ابتدا، با حل تحلیلی معادله سازگاری، تابع‌های تنش آبردی در دسترس قرار می‌گیرد. با بهره‌جویی از این تابع‌های تنش، میدان تنش درون جزء به دست می‌آید. همچنین، میدان جابجایی درجه دوم هم‌عامل هشت گرهی برای جابجایی درون جزء به کار می‌رود. با به کاربردن تابعی درهم هلینگر-رایزنر و ایستا کردن آن نسبت به میدان‌های مستقل تنش و جابجایی، ماتریس سختی و بردار نیروهای گرهی جزء در دسترس قرار می‌گیرند. در پایان با آزمون‌های عددی گوناگون، دقت و کارایی جزء پیشنهادی مورد ارزیابی قرار می‌گیرد. این آزمون‌ها دقت بسیار بالای جزء پیشنهادی را در تحلیل سازه‌های دوبعدی به اثبات می‌رسانند.

۱- مقدمه

درهم استواراند را جزء‌های درهم می‌نامند. یکی از مشهورترین تابعی‌های درهم برای رابطه سازی اجزای محدود، تابعی هلینگر-رایزنر می‌باشد. در این تابعی، میدان‌های تنش و جابجایی درون جزء، به عنوان میدان‌های مستقل تعریف می‌گردد. به دلیل تعریف میدان مستقل جابجایی، یکی از مهم‌ترین برتری‌های این شیوه رابطه‌سازی، رهایی از شرط پیوستگی در مرزهای جزء می‌باشد [۳]. نخستین جزء درهم تنش برای تحلیل مسئله‌های تنش صفحه‌ای توسط پین [۴] در سال ۱۹۶۴ پیشنهاد شد. گرچه این جزء دارای دقت بالایی نیست، اما این شیوه بعدها مبنای کار دیگر پژوهشگران قرار گرفت. اسپیلکر و همکاران [۵] با استفاده از تابع‌های تنش فرضی، برپایه‌ی رابطه‌های اجزای محدود پیوندی تنش، دو جزء چهار گرهی و هشت گرهی را برای تحلیل مسئله‌های دوبعدی پیشنهاد کردند. با بهره‌جویی از تابع‌های چندجمله‌ای کامل برای میدان تنش و همچنین تابعی هلینگر-رایزنر، پین و سومیهارا [۶] یک جزء چهار گرهی را برای تحلیل مسئله‌های تنش صفحه‌ای رابطه‌سازی کردند. برخی از پژوهشگران، بجای یک حل فرضی برای میدان تنش، از تابع‌های آزمایشی که معادله سازگاری را برقرار

از زمان پیدایش روش اجزای محدود، جزء‌های زیادی برای تحلیل مسئله‌های صفحه‌ای پیشنهاد شده است. در این میان، جزء‌های چهار گرهی و هشت گرهی هم‌عامل گرچه فرآگیرترند، اما این جزء‌ها در شبکه‌های بد شکل پاسخ قابل قبول را به دست نمی‌دهند و با افزایش بد شکل شبکه، خطای پاسخ نیز افزایش پیدا می‌کند [۱]. بنابراین تلاش‌های زیادی برای یافتن دیگر گونه‌های رابطه‌سازی که دارای دقت بالا و حساسیت کمی نسبت به کجی شبکه داشته باشند، انجام گرفته است. در همین راستا، می‌توان به رابطه‌سازی‌های درهم و پیوندی اشاره نمود [۲]. در این رابطه‌سازی‌ها شمار میدان‌های اصلی بیش از یک میدان است.

تابعی‌های درهم^۱ با تعریف میدان‌های مستقل در درون جزء برپا می‌گردند. این تابعی‌ها ابزار قدرتمندی را، برای آفرینش جزء‌های با کارائی بالا در اجزای محدود فراهم می‌آورند. جزء‌هایی که برپایه‌ی تابعی‌های

1 Mixed finite element

* نویسنده عهددار مکاتبات: mo.karkon@iau.ac.ir

حقوق مؤلفین به نویسنده‌گان و حقوق ناشر به انتشارات دانشگاه امیرکبیر داده شده است. این مقاله تحت لیسانس آفرینندگی مردمی (Creative Commons License) در دسترس شما قرار گرفته است. برای جزئیات این لیسانس، از آدرس <https://www.creativecommons.org/licenses/by-nc/4.0/legalcode> دیدن فرمائید.



$$\begin{aligned} \Pi_{HR} [\{u\}, \{\sigma\}] = \\ \int_V \left(\{\sigma\}^T \{\varepsilon^u\} - \frac{1}{2} \{\sigma\}^T [C] \{\sigma\} - \{b\}^T \{u\} \right) dV - \\ \int_{S_i} \{u\}^T \{\hat{t}\} dS \end{aligned} \quad (1)$$

در رابطه کنونی $\{\sigma\}$ و $\{u\}$ ، به ترتیب میدان‌های مستقل جابه‌جایی و تنش درون جزء می‌باشد. همچنین، عامل $\{\varepsilon^u\}$ ، بردار کرنش وابسته به میدان جابه‌جایی است. ماتریس نرمی $[C]$ نیز تنش را به کرنش درون جزء پیوند می‌دهد. شایان ذکر است این ماتریس، معکوس ماتریس مواد می‌باشد. همچنین، عامل‌های $\{b\}$ و $\{\hat{t}\}$ ، به ترتیب، نیروهای حجمی و نیروهای سطحی وارد بر جسم را نشان می‌دهند. میدان‌های تنش و جابه‌جایی درون یک جسم صفحه‌ای و همچنین نیروهای لبه‌ای وارد بر آن را می‌توان به صورت زیر نوشت:

$$\{\sigma\}^T = \begin{pmatrix} \sigma_x & \sigma_y & \tau_{xy} \end{pmatrix}^T \quad (2)$$

$$\{u\}^T = \begin{pmatrix} u_x & u_y \end{pmatrix} \quad (3)$$

$$\{\hat{t}\}^T = \begin{pmatrix} t_x & t_y \end{pmatrix} \quad (4)$$

همچنین، ماتریس نرمی برای مسئله‌های صفحه‌ای به صورت می‌باشد:

$$[C] = \frac{1}{E'} \begin{bmatrix} 1 & -\nu' & 0 \\ -\nu' & 1 & 0 \\ 0 & 0 & 2(1+\nu') \end{bmatrix} \quad (5)$$

در رابطه کنونی برای مسئله‌های تنش صفحه‌ای $E' = E$ و $\nu' = \nu$ و برای مسئله‌های کرنش صفحه‌ای $E' = E/(1-\nu')$ و $\nu' = \nu/(1-\nu)$ می‌باشد. عامل‌های E و ν نیز، به ترتیب ضریب کشسانی و نسبت پوآسون می‌باشند. همچنین، بردار کرنش وابسته به جابه‌جایی را می‌توان به صورت زیر به دست آورد:

می‌کند، بهره جستنده‌اند. فو و همکاران [۷] با استفاده از تابع‌های آزمایشی که معادله سازگاری را برقرار می‌کنند، یک جزء ۸ گرهی را برای تحلیل سازه‌های صفحه‌ای پیشنهاد کردند. همچنین، سن و همکاران [۸] نیز با استفاده از همین شیوه، یک جزء چهار گرهی پیوندی تنش را رابطه‌سازی کردند. باید دانست، چندین جزء‌های مرتبه بالای ۸ گرهی و ۱۲ گرهی نیز، با استفاده از تابع‌های آزمایشی فرضی و تابعی پیوندی تنش، آفریده شده است [۹-۱۱]. شایان ذکر است، استفاده از تابع‌های تنش آبری فرضی، که معادله سازگاری را برقرار می‌کنند، برای تحلیل اجزای محدود سازه‌های صفحه‌ای ناهمسانگرد نیز به کار رفته است [۱۲ و ۱۳].

در این مقاله، با به کارگیری تابعی دو میدانی هلینگر-رایزنر، رابطه‌سازی یک جزء صفحه‌ای هشت گرهی با ۱۶ درجه آزادی، به انجام می‌رسد. میدان‌های مستقل در تابعی هلینگر-رایزنر، میدان تنش و جابه‌جایی درون جزء می‌باشند. در جزء پیشنهادی، بجای استفاده از تابع‌های فرضی، میدان تنش با حل تحلیلی معادله دیفرانسی حاکم در دسترس قرار می‌گیرد. در این شیوه با حل معادله سازگاری حاکم، تابع‌های تحلیلی تنش آبری در دسترس قرار می‌گیرند. سپس، با به کار بردن این تابع‌های تنش، میدان تنش درون جزء به دست می‌آیند. همچنین، برای میدان جابه‌جایی درون جزء نیز، تابع‌های درون‌یاب جزء هشت گرهی هم عامل به کار می‌روند. در ادامه، با ایستا کردن تابعی درهم هلینگر-رایزنر نسبت به میدان‌های مستقل تنش و جابه‌جایی، ماتریس سختی و بردار نیروهای گرهی جزء پیشنهادی در دسترس قرار می‌گیرد. سرانجام، برای نشان دادن دقت و کارآیی جزء پیشنهادی، مسئله‌های سنگ نشانه گوناگونی تحلیل خواهند شد و پاسخ‌ها با نتایج جزء‌های هشت گرهی سایر پژوهشگران مقایسه می‌گردند. این آزمون‌ها دقت بسیار بالای جزء پیشنهادی در تحلیل مسئله‌های مشکل را نشان می‌دهند. همچنین، حساسیت بسیار کم جزء پیشنهادی به کجی شبکه با انجام این آزمون‌ها ثابت می‌شود.

۲- تابعی درهم هلینگر-رایزنر

در این مقاله برای رابطه‌سازی اجزای محدود جزء پیشنهادی، تابعی هلینگر-رایزنر استفاده می‌شود. در این تابعی میدان‌های جابه‌جایی و تنش به عنوان میدان اصلی انتخاب می‌شوند و میدان کرنش، میدان وابسته است. بنابراین، کارمایه نهفته کل سازه بر پایه این تابعی به صورت زیر می‌باشد:

برای دست یافتن به رابطه‌های مفید اجزای محدود، تابعی (۹) باید نسبت به میدان‌های مستقل تنش و جابه‌جایی ایستا گردد. بنابراین مشتق رابطه‌ی (۹) نسبت به بردار مجهول میدان تنش $\{\beta\}$ و جابه‌جایی‌های گرهی $\{D\}$ ، صفر می‌گردد:

$$\frac{\partial \Pi_{HR}}{\partial \{\beta\}} = [G]\{D\} - [H]\{\beta\} = 0 \quad (13)$$

$$\frac{\partial \Pi_{HR}}{\partial \{D\}} = \{\beta\}^T [G] - \{f\}^T = 0 \quad (14)$$

با توجه به معادله‌ی (۱۳) بردار ضریب‌های مجهول تابع تنش $\{\beta\}$ به صورت زیر پیدا می‌گردد:

$$\{\beta\} = [H]^{-1}[G]\{D\} \quad (15)$$

با جای‌گذاری $\{\beta\}$ در رابطه‌ی (۱۴)، معادله اجزای محدود حاکم بر مساله به صورت زیر به دست می‌آید:

$$[K]\{D\} = \{f\} \quad (16)$$

$$[K] = [G]^T [H]^{-1} [G] \quad (17)$$

در رابطه (۱۷) ماتریس سختی جزء می‌باشد. شایان ذکر است که، بعد از حل مساله و یافتن جابه‌جایی‌های گرهی جزء، تنش درون آن را می‌توان به صورت زیر حساب کرد:

$$\{\sigma\} = [P][H]^{-1}[G]\{D\} \quad (18)$$

$$\{\varepsilon^u\} = [L]\{u\} = \begin{bmatrix} \partial/\partial x & 0 \\ 0 & \partial/\partial y \\ \partial/\partial y & \partial/\partial x \end{bmatrix} \begin{Bmatrix} u_x \\ u_y \end{Bmatrix} \quad (6)$$

برای رابطه‌سازی اجزای محدود، میدان‌های تنش و جابه‌جایی درون جزء را می‌توان به صورت زیر نوشت:

$$\{\sigma\} = [P]\{\beta\} \quad (7)$$

$$\{u\} = [N]\{D\} \quad (8)$$

در رابطه‌های کنونی، $[N]$ و $[P]$ به ترتیب، تابع‌های پنداشتی تنش و تابع‌های درونیاب جابه‌جایی درون جزء می‌باشند. همچنین، بردارهای $\{\beta\}$ و $\{D\}$ نیز، به ترتیب، عامل‌های ناشناخته تنش و بردار جابه‌جایی‌های گرهی جزء هستند. با جای‌گذاری رابطه‌های (۷) و (۸) در تابعی (۱)، این معادله برای یک جزء مسئله‌ی صفحه‌ای، به صورت زیر نوشته می‌شود:

$$\Pi_{HR} = \{\beta\}^T [G]\{D\} - \frac{1}{2}\{\beta\}^T [H]\{\beta\} - \{f\}^T \{D\} \quad (9)$$

در معادله کنونی، ماتریس‌های $[G]$ و $[H]$ و همچنین بردار نیروهای گرهی $\{f\}$ به صورت زیر تعریف می‌شوند:

$$[G] = \int_v [P]^T ([L][N]) dv \quad (10)$$

$$[H] = \int_v [P]^T [C][P] dv \quad (11)$$

$$\{f\} = \int_A [N]^T \{\hat{t}\} dA \quad (12)$$

$$\{D\} = \begin{Bmatrix} u_{x1} & u_{y1} & u_{x2} & u_{y2} & u_{x3} & u_{y3} & u_{x4} \\ u_{y4} & u_{x5} & u_{y5} & u_{x6} & u_{y6} & u_{x7} & u_{y7} \\ u_{y8} & u_{x8} & u_{y8} \end{Bmatrix}^T \quad (21)$$

همچنین، تابع‌های درون‌یاب N_j در دستگاه مختصات بدون بعد ξ و η ، به صورت زیر می‌باشد:

$$N_j = \begin{cases} \frac{1}{4}(1 + \xi_j \xi)(1 + \eta_j \eta)(\xi_j \xi + \eta_j \eta - 1) & \text{for nodes } j = 1, 2, 3, 4 \\ \frac{1}{2}(1 - \xi^2)(1 + \eta_j \eta) & \text{for nodes } j = 5, 7 \\ \frac{1}{4}(1 + \xi_j \xi)(1 - \eta^2) & \text{for nodes } j = 6, 8 \end{cases} \quad (22)$$

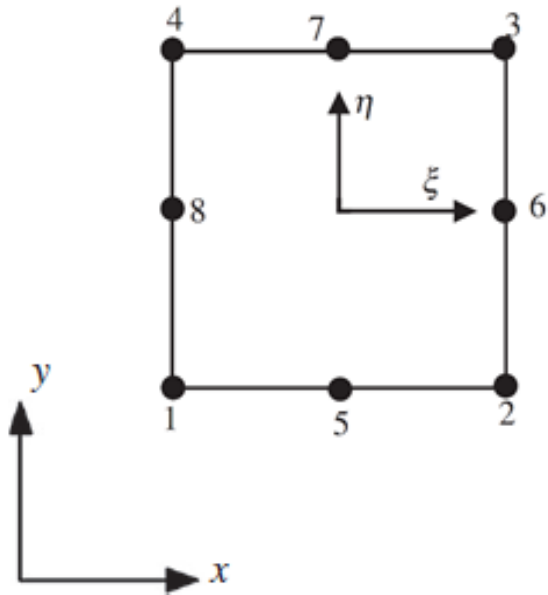
در رابطه کنونی، (ξ_j, η_j) مختصات بدون بعد گره j می‌باشد. شایان ذکر است، رابطه بین دستگاه مختصات کلی $x - y$ و دستگاه مختصات طبیعی بدون بعد $\xi - \eta$ به صورت زیر می‌باشد:

$$x = \sum_{j=1}^8 N_j(\xi, \eta)x_j, \quad y = \sum_{j=1}^8 N_j(\xi, \eta)y_j \quad (23)$$

همچنین، مشتق تابع‌های درون‌یاب (۲۲) را می‌توان به صورت زیر حساب کرد:

$$\begin{Bmatrix} \frac{\partial N_j}{\partial x} \\ \frac{\partial N_j}{\partial y} \end{Bmatrix} = [J]^{-1} \begin{Bmatrix} \frac{\partial N_j}{\partial \xi} \\ \frac{\partial N_j}{\partial \eta} \end{Bmatrix} \quad (24)$$

$$[J] = \begin{Bmatrix} \frac{\partial x}{\partial \xi} & \frac{\partial y}{\partial \xi} \\ \frac{\partial x}{\partial \eta} & \frac{\partial y}{\partial \eta} \end{Bmatrix} = \sum_{j=1}^8 \begin{Bmatrix} \frac{\partial N_j}{\partial \xi} x_j & \frac{\partial N_j}{\partial \xi} y_j \\ \frac{\partial N_j}{\partial \eta} x_j & \frac{\partial N_j}{\partial \eta} y_j \end{Bmatrix} \quad (25)$$



شکل ۱. جزء هشت گرهی پیشنهادی

Fig. 1. Proposed 8-node element

۳- میدان جابه‌جایی جزء

شکل ۱ جزء هشت گرهی پیشنهادی را نشان می‌دهد. برای میدان جابه‌جایی داخلی جزء پیشنهادی، از تابع‌های درون‌یاب جزء هشت گرهی هم‌عامل Q_8 استفاده می‌شود. بنابراین میدان جابه‌جایی درون جزء را می‌توان به صورت زیر نوشت:

$$\{u\} = \begin{Bmatrix} u_x \\ u_y \end{Bmatrix} = [N]\{D\} \quad (19)$$

$$[N] = \begin{bmatrix} N_1 & 0 & N_2 & 0 & N_3 & 0 & N_4 & 0 \\ 0 & N_1 & 0 & N_2 & 0 & N_3 & 0 & N_4 \\ 0 & N_5 & 0 & N_6 & 0 & N_7 & 0 & N_8 \\ N_4 & 0 & N_5 & 0 & N_6 & 0 & N_7 & 0 & N_8 \end{bmatrix} \quad (20)$$

۴- میدان تنش جزء

بنابراین ϕ ها به صورت زیر قابل دستیابی است. این رابطه‌ها نخستین

بار توسط هریرا ارائه شد [۱۴]:

$$\begin{cases} \phi_{k+1} = r^2 \operatorname{Re}(z^k) \\ \phi_{k+2} = r^2 \operatorname{Im}(z^k) \\ \phi_{k+3} = \operatorname{Re}(z^{k+2}) \\ \phi_{k+4} = \operatorname{Im}(z^{k+2}) \end{cases} \quad k = 0, 1, 2, \dots \quad (۳۱)$$

در جزء پیشنهادی، برای محاسبه میدان تنش از پاسخ تحلیلی معادله دیفرانسیل حاکم بر مسئله‌های صفحه‌ای بهره جویی می‌شود. این معادله دیفرانسیل با صرف نظر از نیروهای حجمی، به صورت زیر می‌باشد:

$$\nabla^4 \phi = \frac{\partial^4 \phi}{\partial x^4} + 2 \frac{\partial^4 \phi}{\partial x^2 \partial y^2} + \frac{\partial^4 \phi}{\partial y^4} = 0 \quad (۲۶)$$

به عنوان نمونه با انتخاب $k = 0, 1, 2, 3, 4, 5, 6, 7, 8, 9, 10, 11, 12, 13, 14, 15$ ، جمله نخستین تابع تنش آیری با صرف نظر از ضریب‌های مجھول آن، به صورت زیر در دسترس قرار می‌گیرند:

$$\begin{aligned} k=0 &\Rightarrow \begin{cases} \phi_0 = 0 \\ \phi_1 = x^2 + y^2 \\ \phi_2 = 2xy \\ \phi_3 = x^2 - y^2 \end{cases}; \\ k=1 &\Rightarrow \begin{cases} \phi_4 = x^3 + xy^2 \\ \phi_5 = x^2y + y^3 \\ \phi_6 = x^3 - 3xy^2 \\ \phi_7 = 3x^2y - y^3 \\ \phi_8 = x^4 - y^4 \end{cases}; \\ k=2 &\Rightarrow \begin{cases} \phi_9 = 2x^3y + 2xy^3 \\ \phi_{10} = x^4 - 6x^2y^2 + y^4 \\ \phi_{11} = 4x^3y - 4xy^3 \end{cases}; \\ k=3 &\Rightarrow \begin{cases} \phi_{12} = x^5 - 2x^3y^2 - 3xy^4 \\ \phi_{13} = 3x^4y + 2x^2y^3 - y^5 \\ \phi_{14} = x^5 - 10x^3y^2 + 5xy^4 \\ \phi_{15} = 5x^4y - 10x^2y^3 + y^5 \end{cases} \end{aligned} \quad (۳۲)$$

با مشتق‌گیری از تابع تنش آیری، میدان تنش درون جزء را می‌توان به صورت زیر حساب کرد:

در این رابطه، ϕ ، تابع تنش آیری^۱ می‌باشد. با حل تحلیلی معادله $\nabla^4 \phi$ در مختصه‌های قطبی، پاسخ همگن به صورت زیر در دسترس قرار می‌گیرد:

$$\phi = \sum_{n=0}^{\infty} \left[a_n r^n \cos n\theta + b_n r^n \sin n\theta + c_n r^{n+1} \cos(n-1)\theta + d_n r^{n+1} \sin(n-1)\theta \right] \quad (۳۷)$$

با به کار بردن رابطه‌ی اویلر، می‌توان نوشت:

$$z = re^{i\theta} = r [\cos(\theta) + i \sin(\theta)] \quad (۳۸)$$

$$z^n = (re^{i\theta})^n = r^n [\cos(n\theta) + i \sin(n\theta)] \quad (۳۹)$$

با جای‌گذاری رابطه‌ی کنونی در رابطه (۳۷)، این معادله صورت ساده‌تر زیر را پیدا می‌کند:

$$\begin{aligned} \phi &= \sum_{n=0}^{\infty} \left\{ \operatorname{Re} \left[(a_n + r^2 b_n) z^n \right] + \operatorname{Im} \left[(c_n + r^2 d_n) z^n \right] \right\} \\ r^2 &= x^2 + y^2, \quad z = x + iy \end{aligned} \quad (۴۰)$$

۱ Airy stress function

جدول ۱. تابع‌های تنش آیری و تنش‌های وابسته به آن

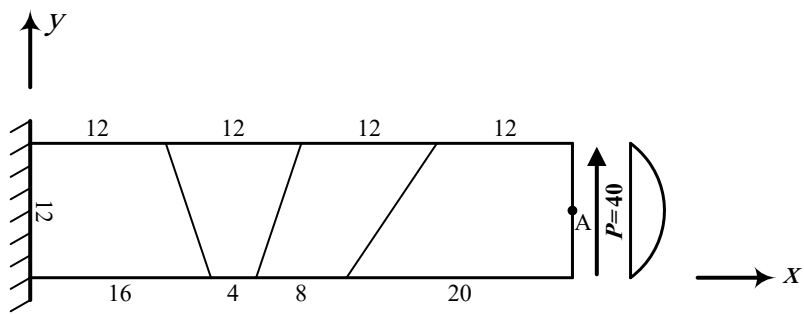
Table 1. Airy stress functions and related stresses

τ_{xy}	σ_y	σ_x	ϕ_i
•	۲	۲	$x^r + y^r$
-۲	•	•	$2xy$
•	۲	-۲	$x^r - y^r$
-۲y	$6x$	$2x$	$x^r + xy^r$
-۲x	$2y$	$6y$	$x^r y + y^r$
۶y	$6x$	-۶x	$x^r - 3xy^r$
-۶x	$6y$	-۶y	$3x^r y - y^r$
•	$12x^r$	- $12y^r$	$x^r - y^r$
- $6x^r - 6y^r$	$12xy$	$12xy$	$2x^r y + 2xy^r$
$24xy$	$12x^r - 12y^r$	$12y^r - 12x^r$	$x^r - 6x^r y^r + y^r$
$12y^r - 12x^r$	$24xy$	- $24xy$	$4x^r y - 4xy^r$
$12x^r y + 12y^r$	$20x^r - 12xy^r$	- $4x^r - 36xy^r$	$x^\Delta - 2x^r y^r - 3xy^r$
- $12x^r - 12xy^r$	$36x^r y + 4y^r$	$12x^r y - 20y^r$	$3x^r y + 2x^r y^r - y^\Delta$
$6x^r y - 20y^r$	$20x^r - 6xy^r$	- $20x^r + 6xy^r$	$x^\Delta - 1 \cdot x^r y^r + \Delta xy^r$
$6xy^r - 20x^r$	$6x^r y - 20y^r$	- $6x^r y + 20y^r$	$\Delta x^r y - 1 \cdot x^r y^r + y^\Delta$

$$\sigma = \begin{Bmatrix} \sigma_x \\ \sigma_y \\ \tau_{xy} \end{Bmatrix} = \sum_{i=1}^n \begin{Bmatrix} \frac{\partial^2 \phi_i}{\partial y^2} \\ \frac{\partial^2 \phi_i}{\partial x^2} \\ -\frac{\partial^2 \phi_i}{\partial x \partial y} \end{Bmatrix} \quad \{ \beta \} = [P] \{ \beta \} \quad (34)$$

$$\sigma = \begin{Bmatrix} \sigma_x \\ \sigma_y \\ \tau_{xy} \end{Bmatrix} = \begin{Bmatrix} \frac{\partial^2 \phi}{\partial y^2} \\ \frac{\partial^2 \phi}{\partial x^2} \\ -\frac{\partial^2 \phi}{\partial x \partial y} \end{Bmatrix} \quad (33)$$

بنابراین میدان تنش داخلی جزء به صورت ماتریس زیر حساب می‌شود:
در رابطه‌ی کتونی $\{ \beta \}$ بردار ضریب‌های مجهول می‌باشد. تنش‌های
وابسته به تابع تنش آیری برای ۱۵ جمله اول آن در جدول ۱ آمده است.



شکل ۲. تیر طره زیر اثر بار برشی

Fig. 2. Cantilever beam under shear loading

عددی به کار رفته در این بخش، در شمار مشهورترین مسائلهای سنگ نشانه است که برای سنجش دقت و کارآیی جزءهای صفحه‌ای به کار می‌رود. نتایج جزءهای ۸ گرهی زیر، برای مقایسه به کار می‌رود:

1- جزء هشت گرهی هم‌عامل [۱]

2- جزء هشت گرهی رابطه سازی شده با روش مختصات سطحی مربعی [۱۷]

3- جزء هشت گرهی رابطه سازی شده با روش مختصات سطحی مربعی [۱۸]

4- جزء هشت گرهی سازگار مرتبه بالا [۱۹]

5- جزء هشت گرهی برپایهتابعهای تنش فرضی [۱۱]

6- جزء هشت گرهی با ماتریس سختی نامتقابن [۱۱ و ۲۰]

7- جزء هشت گرهی با انتگرال گیری مستقیم [۲۱]

شایان ذکر است که تمامی جزءهای ذکر شده، مانند جزء پیشنهادی، دارای ۸ گره و ۱۶ درجه آزاد می‌باشند.

۸- تیر طره زیر اثر برش

در این آزمون ابتدا یک تیر طره زیر اثر بار برشی $P = 40$ با توزیع $\frac{5y}{36} - \frac{5y}{3}$ تحلیل می‌گردد. این تیر دارای طول $l = 1$ ، عرض $h = 12$ و ضخامت $t = 1$ می‌باشد. شکل ۲ هندسه تیر به همراه شبکه به کار رفته برای تحلیل را نشان می‌دهد. همچنین، ضریب کشسانی و نسبت پواسون مصالح تیر نیز به ترتیب $E = ۳۰۰۰۰$ و $\nu = ۰/۲۵$ می‌باشد.

با انجام تحلیل پاسخ خیز در نقطه A برای جزء پیشنهادی و جزءهای سایر پژوهشگران در جدول ۲ درج می‌گردد. با بررسی این جدول مشاهده می‌شود که دقت جزء پیشنهادی بسیار بالا است و پاسخ بدست آمده با مقدار مرجع یکسان می‌باشد.

کمینه‌ی جمله‌هایی که از حل تحلیلی انتخاب می‌شود، وابسته به شمار درجه آزادی‌های جزء است. تعداد جمله‌های لازم و نه کافی برای جلوگیری از ناپایداری‌های عددی و کمبود رتبه‌ی ماتریس سختی از رابطه‌ی زیر به دست می‌آید [۱۵]:

$$m \geq n - r \quad (۳۵)$$

عامل r حالت‌های حرکت جسم صلب را نشان می‌دهد. باید افزود، به کار بردن حالت‌های حرکت جسم صلب سبب ایجاد کارمایه‌ی کرنشی اضافی در جزء می‌شود. از این رو، باید این حالت‌ها را حذف نمود. تعداد حالت‌های حرکت جسم صلب در مسائلهای صفحه‌ای، برابر با سه ($r = ۳$) می‌باشد که شامل دو حالت انتقالی و یک حالت دورانی گرد محور Z می‌باشد. بنابراین، رابطه‌ی (۳۵) برای مسائلهای صفحه‌ای به صورت زیر در می‌آید:

$$m \geq n - 3 \quad (۳۶)$$

به طور معمول کمترین شمار پاسخهای همگن که شرط معادله‌ی (۳۶) را برآورده سازد، بالاترین دقت را برای جزء فراهم می‌آورد [۱۶]. بنابراین جزء پیشنهادی، با ۱۵ تابع تنش آیری بیشترین دقت را دارد است.

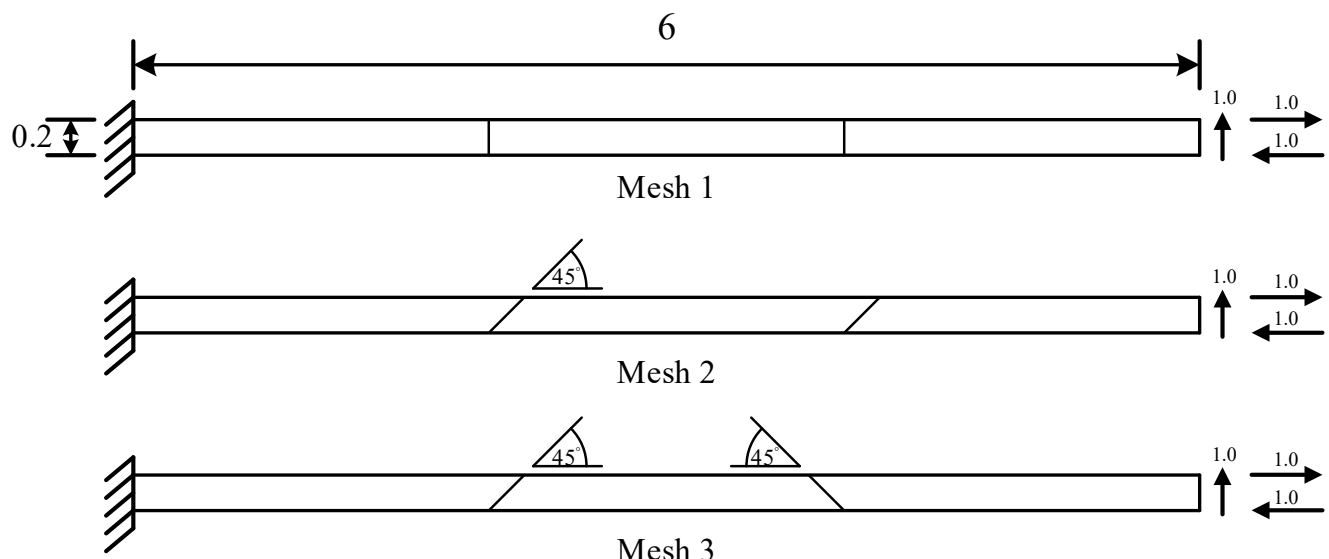
۵- آزمون‌های عددی

در این بخش دقت و کارآیی جزء پیشنهادی مورد ارزیابی قرار می‌گیرد. برای این منظور چند سازه صفحه‌ای تحلیل می‌گردد و نتایج جزء پیشنهادی با یافته‌های سایر پژوهشگران مقایسه می‌شود. شایان ذکر است که، آزمون‌های

جدول ۲. جایه‌جایی قائم تیر طرہ زیر اثر بار برنشی

Table 2. Tip deflection of cantilever beam under shear loading

جزء هم‌عامل	مرجع [۱]	مرجع [۱۸]	مرجع [۲۰]	مرجع [۱۱]	مرجع [۱۹]	مرجع [۲۱]	جزء پیشنهادی	جزء نتایج
۰/۳۴۸۱	۰/۳۵۱۹	۰/۳۵۱۸	۰/۳۵۷۲	۰/۳۴۸۲	۰/۳۵۳۸	۰/۳۵۵۸	۰/۳۵۵۸	پاسخ دقیق
۰/۳۵۵۸								[۲۲]



شکل ۳. تیر طرہ مکنیل

Fig. 3. MacNeal's cantilever beam

۵-۲- تیر طرہ مکنیل
به منظور نشان دادن توانایی‌های جزء پیشنهادی، تیر طرہ مکنیل، خالص با لنگر $M = 0/0$ و برش واحد در انتهای تیر به کار می‌رود و تغییر مکان عمودی در انتهای تیر حساب می‌گردد. پاسخ تحلیلی برای بارگذاری خمی $\theta = -0/0054$ و برای حالت برشی، $\theta = 0/081$ می‌باشد. نتایج تحلیل تیر با جزء پیشنهادی به همراه نتایج دیگر پژوهشگران، در جدول ۳ آورده شده است. با بررسی این جدول، مشاهده می‌گردد که دقت جزء پیشنهادی بسیار بالا است.

به منظور نشان دادن توانایی‌های جزء پیشنهادی، تیر طرہ مکنیل، تحلیل می‌گردد. برای تحلیل، سه نوع شبکه بندی منظم، ذوزنقه‌ای و متوازی الاضلاع به کار می‌رود. شکل ۳ تیر مکنیل به همراه شبکه‌بندی‌های به کار رفته را نشان می‌دهد. این آزمون که توسط مکنیل پیشنهاد شده است، یک آزمون رایج برای سنجش دقت جزء و حساسیت آن به بد شکلی شبکه می‌باشد [۳۳]. ضریب پواسون، مدول کشسانی و ضخامت تیر به ترتیب $E = 10^7$

جدول ۳. جابه‌جایی قائم بهنجار شده تیر طره مکنیل زیر اثر بار برشی و خمس خالص

Table 3. Normalized tip deflection of MacNeal's thin beam for different load cases and mesh geometry

لنگر خمی			نیروی برشی			جزء
شبکه ۳	شبکه ۲	شبکه ۱	شبکه ۳	شبکه ۲	شبکه ۱	
۰/۹۳۹	۰/۹۹۴	۱/۰۰۰	۰/۸۵۴	۰/۹۱۹	۰/۹۵۱	جزء هم‌عامل [۱]
۱/۰۰۰	۱/۰۰۰	۱/۰۰۰	۰/۸۹۵	۰/۹۰۳	۰/۹۵۱	مرجع [۱۸]
۰/۹۸۷	۰/۹۹۲	۰/۹۸۳	۰/۹۵۷	۰/۹۸۴	۰/۹۷۴	مرجع [۲۰]
۱/۰۰۷	۱/۰۰۴	۰/۹۹۴	۱/۰۱۱	۱/۰۰۶	۰/۹۹۰	مرجع [۱۱]
۱/۰۰۰	۱/۰۰۰	۱/۰۰۰	۰/۹۲۲	۰/۹۲۶	۰/۹۸۲	مرجع [۲۱]
۱/۰۰۰	۱/۰۰۰	۱/۰۰۰	۰/۹۶۶	۰/۹۶۸	۰/۹۷۸	جزء پیشنهادی
۱/۰۰۰ (-۰/۰۰۵۴)			۱/۰۰۰ (-۰/۱۰۸۱)			پاسخ دقیق [۱۸]

کرده‌اند [۲۳]:

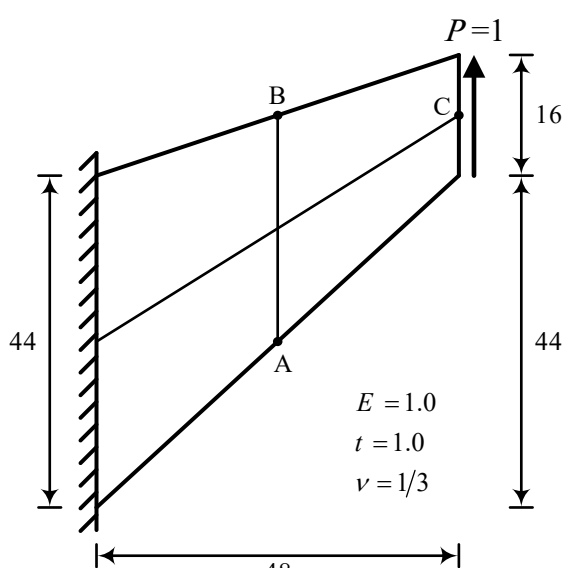
۳-۵ تیر طره کوک

تا کنون تمامی آزمون‌هایی که مورد بررسی قرار گرفت دارای هندسه‌ی منظم بودند. هر چند که برای بررسی حساسیت جزء به کجی شبکه، شبکه‌های نامنظم تولید می‌شد. یکی از آزمون‌های معمول که برای بررسی دقیق و توانایی جزء در حل مسأله‌های صفحه‌ای با هندسه‌ی نامنظم به کار می‌رود، تیر طره کوک می‌باشد. این تیر که زیر اثر یک برش واحد در انتهای آزاد آن قرار دارد، توسط کوک پیشنهاد شده است. شکل ۴ تیر طره کوک با یک شبکه‌بندی 2×2 را به همراه مشخصات مواد، هندسه و بارگذاری آن نشان می‌دهد.

با تحلیل تیر با جزء پیشنهادی، جابه‌جایی در نقطه‌ی C، تنش بیشینه در نقطه A و تنش کمینه در نقطه‌ی B حساب می‌گردد. نتایج تحلیل به همراه نتایج جزء‌های سایر پژوهشگران در جدول ۴ درج شده است. این مسأله دارای پاسخ تحلیلی نمی‌باشد و پاسخ مرجع [۲۲] برای مقایسه به کار می‌رود. بررسی این جدول نشان می‌دهد که دقیق جزء پیشنهادی بسیار بالا می‌باشد.

۴-۵ تیر طره خمیده نازک

در این آزمون یک تیر خمیده نازک که در یک انتها گیردار و در سر آزاد آن تیر یک برش واحد قرار دارد، مورد بررسی قرار می‌گیرد. شکل ۵ تیر طره خمیده به همراه مشخصه‌های آن را نشان می‌دهد. تیموشنکو و گودیر پاسخ تحلیلی خیز قائم تیر خمیده زیر اثر نیروی برشی، به صورت زیر ارائه



شکل ۴. تیر طره کوک

Fig. 4. Cook's skew cantilever beam

جدول ۴. جایه‌جایی و تنش در تیز طره کوک زیر اثر بار برنشی

Table 4. Deflection and stress of Cook's skew beam under unit shear load

$\sigma_{B\min}$	$\sigma_{A\max}$	v_c	جزء	شبکه‌بندی
-۰/۲۲۷۵	۰/۲۴۷۹	۲۲/۷۲	جزء هم‌عامل [۱]	
-۰/۲۱۴۲	۰/۱۹۵۹	۲۲/۹۸	مرجع [۱۸]	
-۰/۲۱۴۴	۰/۲۵۲۳	۲۲/۹۸	مرجع [۱۷]	
-۰/۱۶۸۲	۰/۲۱۳۳	۲۲/۸۸	مرجع [۱۹]	
-	-	-	مرجع [۲۰]	۲×۲
-	-	-	مرجع [۱۱]	
-۰/۱۷۳۱	۰/۲۴۶۳	۲۳/۹۱	مرجع [۲۱]	
-۰/۱۷۷۱	۰/۲۴۴۴	۲۳/۸۰	جزء پیشنهادی	
-۰/۲۰۰۷	۰/۲۴۲۱	۲۳/۷۱	جزء هم‌عامل [۱]	
-۰/۲۰۲۴	۰/۲۴۱۴	۲۳/۷۴	مرجع [۱۸]	
-۰/۲۰۲۴	۰/۲۴۱۵	۲۳/۷۴	مرجع [۱۷]	
-۰/۱۹۴۹	۰/۲۱۱۸	۲۳/۸۰	مرجع [۱۹]	
-۰/۲۰۱۹	۰/۲۲۵۶	۲۳/۷۵	مرجع [۲۰]	۴×۴
-۰/۲۲۲۲	۰/۲۴۰۴	۲۳/۶۱	مرجع [۱۱]	
-۰/۲۰۵۸	۰/۲۲۳۵	۲۳/۷۹	مرجع [۲۱]	
-۰/۲۰۴۹	۰/۲۴۰۴	۲۳/۹۶	جزء پیشنهادی	
-۰/۲۰۴۱	۰/۲۳۹۰	۲۳/۸۸	جزء هم‌عامل [۱]	
-۰/۲۰۴۱	۰/۲۳۸۹	۲۳/۸۹	مرجع [۱۸]	
-۰/۲۰۴۱	۰/۲۳۸۹	۲۳/۸۹	مرجع [۱۷]	
-۰/۲۰۳۴	۰/۲۲۳۸	۲۳/۹۳	مرجع [۱۹]	
-۰/۲۰۴۱	۰/۲۳۳۰	۲۳/۸۹	مرجع [۲۰]	۸×۸
-۰/۲۰۴۱	۰/۲۳۸۷	۲۴/۰۱	مرجع [۱۱]	
-۰/۲۰۲۴	۰/۲۳۳۹	۲۳/۹۰	مرجع [۲۱]	
-۰/۲۰۳۷	۰/۲۳۷۳	۲۳/۹۶	جزء پیشنهادی	
-۰/۲۰۲۳	۰/۲۳۶۲	۲۳/۹۶	پاسخ مرجع [۲۲]	

جدول ۵. جابه‌جایی قائم بهنگار شده تیر طره خمیده نازک زیر اثر بار برشی

Table 5. Normalized tip deflection of a thin curved beam

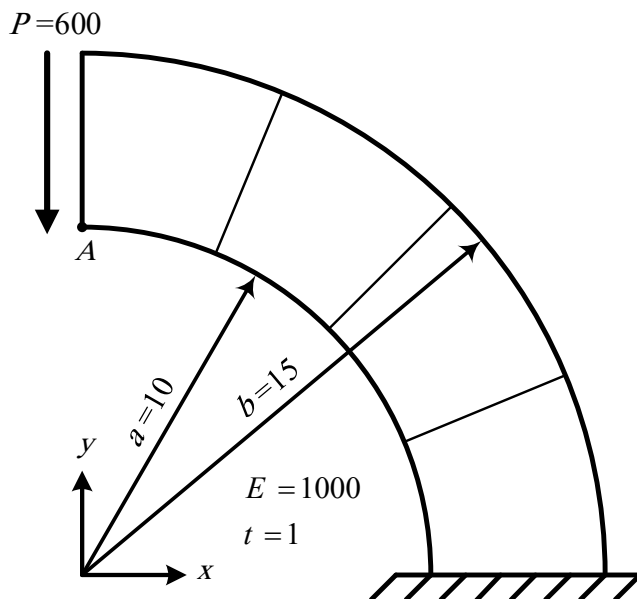
جزء	1×2	1×3	1×4	حل تحلیلی
جزء هم‌عامل [۱]	۰/۹۲۸۸	۰/۹۶۴۴	۰/۹۷۸۵	۱
مرجع [۲۰]	۰/۹۲۴۰	۰/۹۶۸۹	۰/۹۸۴۴	$1(+)0/0886$
جزء پیشنهادی	۱/۰۵۳۹	۱/۰۲۲۱	۱/۰۱۱۹	

تحلیل می‌گردد. شکل ۶ سازه تیر با شبکه‌بندی 1×4 را به همراه مشخصات آن نشان می‌دهد. این تیر زیر اثر نیروی برشی $P = 600$ در انتهای آزاد آن تحلیل می‌شود. شایان ذکر است در این آزمون، نسبت پواسون مصالح صفر لحاظ می‌گردد ($\nu = 0$). با انجام تحلیل، جابه‌جایی نقطه‌ی A حساب می‌گردد و نتایج جزء پیشنهادی به همراه یافته‌های سایر پژوهشگران در جدول ۶ درج می‌شود. این جدول نشان دهنده دقت بالای جزء پیشنهادی در تحلیل این سازه می‌باشد.

با بکار بردن جزء پیشنهادی جابه‌جایی انتهای آزاد آن حساب می‌گردد و با پاسخ تحلیلی مقایسه می‌شود. پاسخ تحلیلی برای جابه‌جایی قائم انتهای تیر $v_A = 0/0886$ می‌باشد. پاسخ‌های بهنگار شده خیز برای جزء پیشنهادی و سایر جزء‌ها در جدول ۵ درج شده است. این جدول نشان می‌دهد که دقت و سرعت همگرایی جزء پیشنهادی بسیار بالا می‌باشد.

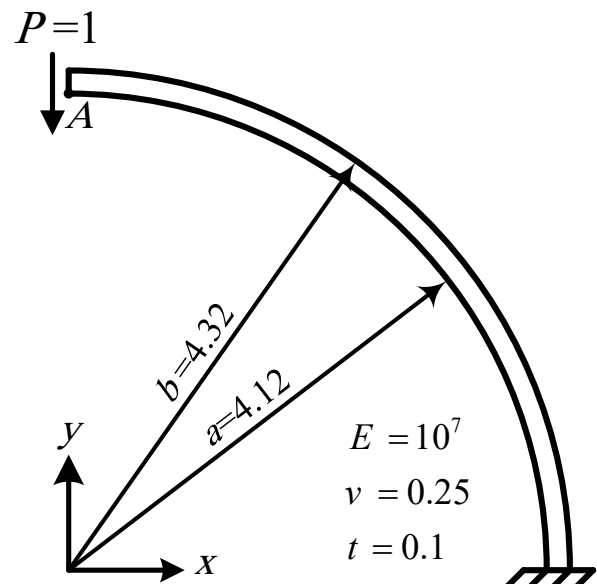
۵- تیر طره خمیده ضخیم

در ادامه، برای سنجش دقت جزء پیشنهادی، تیر طره خمیده ضخیم



شکل ۶. تیر طره خمیده ضخیم با شبکه‌بندی 1×4

Fig. 6. Thick curved beam with 1×4 mesh



شکل ۵. تیر طره خمیده نازک

Fig. 5. Thin curved beam

جدول ۶. جابه‌جایی قائم تیر طره خمیده ضخیم زیر اثر بار برشی ($\nu = 0.5$)

Table 6. Tip deflection of a thick curved beam under shear loading ($\nu = 0.5$)

حل تحلیلی		۱×۴	۱×۲	۱×۱	جزء
$90/4$	۸۸/۶	۷۷/۴	۳۰/۲	[۱]	جزء هم‌عامل
	۸۴/۱	۷۵/۵	۴۲/۷	[۱۸]	مرجع
	۸۹/۰	۸۷/۴	۸۶/۳	[۲۱]	مرجع
	۹۰/۴	۹۰/۵	۵۶/۵		جزء پیشنهادی

جدول ۷. جابه‌جایی قائم تیر طره خمیده ضخیم برای مقدارهای مختلف نسبت پواسون

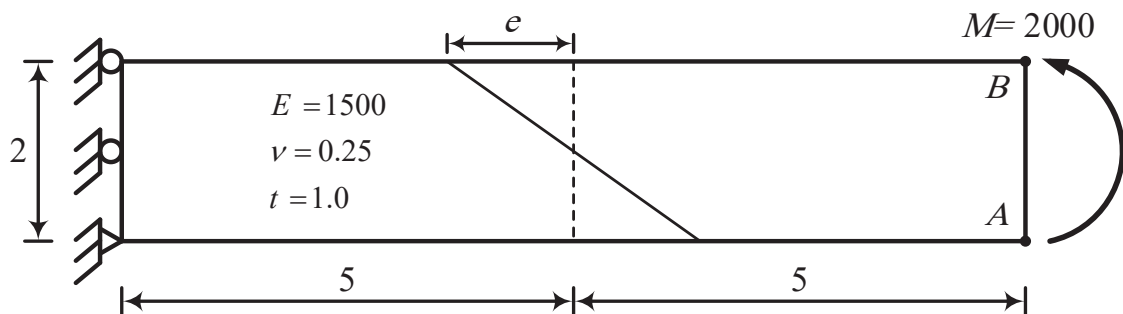
Table 7. Tip deflection of thick curved beam for various Poisson's ratio

نسبت پواسون					جزء
$0/4999$	$0/499$	$0/49$	$0/3$.	
$86/4023$	$86/4134$	$86/5229$	$88/3112$	$89/4141$	جزء هم‌عامل [۱]
$89/9029$	$89/9051$	$89/9274$	$90/2936$	$90/4328$	جزء پیشنهادی
					حل تحلیلی
					$90/4067$

۵-۶- بررسی حساسیت جزء به کجی شبکه

به منظور بررسی حساسیت جزء پیشنهادی به کجی شبکه، یک تیر طره زیر اثر لنگر خمی خالص تحلیل می‌گردد. این مسأله یک آزمون مرسوم برای بررسی حساسیت جزء به کجی شبکه می‌باشد که توسط پیلتز و تیلور [۲۴] پیشنهاد شده است. عامل $e = 0$ شبکه منظم را نشان می‌دهد و با افزایش آن میزان کجی گونه‌ای که شبکه منظم را نشان می‌دهد و با افزایش آن میزان کجی شبکه نیز افزایش پیدا می‌کند. شایان ذکر است، این سازه با به کار بردن دو جزء تحلیل می‌گردد. شکل ۷ این تیر را به همراه بارگذاری و مشخصه‌های هندسی آن را نشان می‌دهد. جابه‌جایی نقطه A و همچنین مقدار تنش σ_x در نقطه B برای جزء پیشنهادی به همراه نتایج سایر پژوهشگران در جدول ۸ آمده است. با بررسی این جدول مشاهده می‌شود، که حساسیت جزء پیشنهادی به کجی شبکه بسیار کم می‌باشد.

همچنین، به منظور نشان دادن توانایی‌های جزء پیشنهادی در تحلیل مواد نزدیک تراکم ناپذیر و نیز نبود مشکل قفل نسبت پواسون، این سازه با نسبت‌های مختلف ضریب پواسون تحلیل می‌گردد. اهمیت این آزمون در آن است که، برخی از جزء‌ها ممکن است که، در مواد نزدیک تراکم ناپذیر، دچار مشکل قفل نسبت پواسون شوند و پاسخ با خطای زیاد را به دست دهند. یادآوری می‌گردد که، برای تحلیل سازه شبکه‌بندی 1×6 بکار می‌رود. با تغییر نسبت پواسون مصالح تیر، از $\nu = 0/4999$ تا $\nu = 0.7$ مسأله تحلیل شده و جابه‌جایی آن در جدول ۷ آمده است. این جدول نشان دهنده‌ی دقت بالای جزء پیشنهادی و نبود مشکل قفل نسبت پواسون در مواد نزدیک تراکم ناپذیر می‌باشد.



شکل ۷. تیر طره برای آزمون کجی شبکه

Fig. 7. Cantilever beam with two elements for the mesh distortion test

جدول ۸. جابه‌جایی قائم و تنش بهنگار شده تیر طره با عامل طره با کجی شبکه زیر اثر لنگر خمی

Table 8. Normalized deflection and stress of cantilever beam subjected to a pure bending for different values of the mesh distortion parameter e

پاسخ دقیق	e							جزء
	۴/۹	۴	۳	۲	۱	۰/۵	۰	
$1/1000 (100)$	۰/۱۹۷۵	۰/۳۲۰۱	۰/۵۹۷۱	۰/۸۹۳۹	۰/۹۹۳۶	۰/۹۹۹۶	۱/۰۰۰	جزء هم‌عامل [۱]
	۱/۰۵۹	۱/۰۳۷	۱/۰۱۹	۱/۰۰۷	۱/۰۰۲	۱/۰۰۰	۱/۰۰۰	مرجع [۱۸] v_A
	۱/۰۰۰	۱/۰۰۰	۱/۰۰۰	۱/۰۰۰	۱/۰۰۰	۱/۰۰۰	۱/۰۰۰	جزء پیشنهادی
$1/1000 (-3000)$	۶/۴۱۶	۱/۲۳۵	۱/۰۷۹	۱/۰۹۷	۱/۰۴۰	۱/۰۱۱	۱/۰۰۰	جزء هم‌عامل [۱]
	۰/۷۷۹	۰/۸۲۸	۰/۹۶۶	۰/۹۱۱	۰/۹۶۸	۰/۹۸۹	۱/۰۰۰	مرجع [۱۸] $\sigma_{x,B}$
	۱/۰۰۰	۱/۰۰۰	۱/۰۰۰	۱/۰۰۰	۱/۰۰۰	۱/۰۰۰	۱/۰۰۰	جزء پیشنهادی

۶- نتیجه گیری

در این پژوهش، با بهره‌جویی از تابعی درهم و پاسخ تحلیلی معادله دیفرانسیل مسئله‌های صفحه‌ای، یک جزء هشت گرهی با دقت بالا برای تحلیل اجرای محدود سازه‌های صفحه‌ای پیشنهاد شد. برای این کار، از تابعی هلینگر-رایزنر با میدان‌های مستقل تنش و جابه‌جایی بهره‌جویی شد. میدان تنش داخل جزء با استفاده از پاسخ تحلیلی معادله دیفرانسیل حاکم به دست آمد. همچنین، برای میدان جابه‌جایی درون جزء نیز، تابع‌های درون‌یاب جزء حساسیت کم آن به بدشکلی و کجی شبکه‌بندی، بودند.

منابع

- quasi-conforming method immune to distorted mesh, *Engineering Computations*, 34(8) (2017) 2731-2751.
- [11] S. Cen, G.H. Zhou, X.R. Fu, A shape-free 8-node plane element unsymmetric analytical trial function method, *International Journal for Numerical Methods in Engineering*, 91(2) (2012) 158-185.
- [12] S. Cen, X. Fu, G. Zhou, M. Zhou, C. Li, Shape-free finite element method: the plane hybrid stress-function (HS-F) element method for anisotropic materials, *Science China Physics, Mechanics and Astronomy*, 54(4) (2011) 653-665.
- [13] Y.-T. Zhao, M.-Z. Wang, Y. Chen, Y. Su, Polynomial stress functions of anisotropic plane problems and their applications in hybrid finite elements, *Acta Mechanica*, 223(3) (2012) 493-503.
- [14] I. Herrera, *Boundary methods: an algebraic theory*, Pitman Advanced Publishing Program, 1984.
- [15] Q.-H. Qin, Trefftz Finite Element Method and Its Applications, *Applied Mechanics Reviews*, 58(5) (2005) 316-337.
- [16] M. Rezaiee-Pajand, M. Karkon, An effective membrane element based on analytical solution, *European Journal of Mechanics-A/Solids*, 39 (2013) 268-279.
- [17] S. Ai-Kah, L. Yuqiu, C. Song, Development of eight-node quadrilateral membrane elements using the area coordinates method, *Computational Mechanics*, 25(4) (2000) 376-384.
- [18] S. Cen, X.-M. Chen, X.-R. Fu, Quadrilateral membrane element family formulated by the quadrilateral area coordinate method, *Computer Methods in Applied Mechanics and Engineering*, 196(41-44) (2007) 4337-4353.
- [19] G. Zhang, J. Xiang, Eight-node conforming straight-side quadrilateral element with high-order completeness (QH8-C1), *International Journal for Numerical Methods in Engineering*, 121(15) (2020) 3339-3361.
- [20] S. Rajendran, K. Liew, A novel unsymmetric 8-node plane element immune to mesh distortion under a qua-
- [1] N.S. Lee, K.J. Bathe, Effects of element distortions on the performance of isoparametric elements, *International Journal for numerical Methods in engineering*, 36(20) (1993) 3553-3576.
- [2] T.H. Pian, State-of-the-art development of hybrid/mixed finite element method, *Finite elements in analysis and design*, 21(1-2) (1995) 5-20.
- [3] C. Felippa, Advanced finite element methods, Institute of Theoretical Physics, Faculty of Mathematics and Physics ..., 2000.
- [4] T.H. Pian, Derivation of element stiffness matrices by assumed stress distributions, *AIAA journal*, 2(7) (1964) 1333-1336.
- [5] R.L. Spilker, S. Maskeri, E. Kania, Plane isoparametric hybrid-stress elements: invariance and optimal sampling, *International Journal for Numerical Methods in Engineering*, 17(10) (1981) 1469-1496.
- [6] T.H. Pian, K. Sumihara, Rational approach for assumed stress finite elements, *International Journal for Numerical Methods in Engineering*, 20(9) (1984) 1685-1695.
- [7] X.R. Fu, S. Cen, C.F. Li, X.M. Chen, Analytical trial function method for development of new 8-node plane element based on the variational principle containing Airy stress function, *Engineering Computations*, 27(4) (2010) 442-463.
- [8] S. Cen, M.-J. Zhou, X.-R. Fu, A 4-node hybrid stress-function (HS-F) plane element with drilling degrees of freedom less sensitive to severe mesh distortions, *Computers & Structures*, 89(5-6) (2011) 517-528.
- [9] S. Cen, X.-R. Fu, M.-J. Zhou, 8-and 12-node plane hybrid stress-function elements immune to severely distorted mesh containing elements with concave shapes, *Computer Methods in Applied Mechanics and Engineering*, 200(29-32) (2011) 2321-2336.
- [10] C. Wang, Y. Wang, C. Yang, X. Zhang, P. Hu, 8-node and 12-node plane elements based on assumed stress

- Finite elements in analysis and design, 17(4) (1994) 259-271.
- [23] S.P. Timoshenko, J.N. Goodier, Theory of elasticity, (1951).
- [24] R. Piltner, R. Taylor, A quadrilateral mixed finite element with two enhanced strain modes, International Journal for Numerical Methods in Engineering, 38(11) (1995) 1783-1808.[1] Bathias, C., Paris, P.C., 2004. Gigacycle Fatigue in Mechanical Practice. Section 7, Marcel Dekker.
- dratic displacement field, International Journal for Numerical Methods in Engineering, 58(11) (2003) 1713-1748.
- [21] G. Zhang, M. Wang, Development of eight-node curved-side quadrilateral membrane element using chain direct integration scheme (SCDI) in area coordinates (MHCQ8-DI), Arabian Journal for Science and Engineering, 44(5) (2019) 4703-4724.
- [22] L. Yuqiu, X. Yin, Generalized conforming triangular membrane element with vertex rigid rotational freedoms,

چگونه به این مقاله ارجاع دهیم

M. Karkon, M. Yaghoobi, Mixed Finite Element Formulation for 2D Problems Analysis Based on Analytical Solutions of Differential Equation, Amirkabir J. Mech Eng., 54(6) (2022) 1443-1458.

DOI: [10.22060/mej.2022.20650.7287](https://doi.org/10.22060/mej.2022.20650.7287)



